

بررسی دمای واجدب هیدروژن در نانو کامپوزیت (Ti, Mn, V, Fe) تولید شده به روش آلیاژسازی مکانیکی MgH₂ – 10wt%

حسین محمدی^۱، سید جمال حسینی پور^۲، محمد رجبی^{۳*}

۱- کارشناس ارشد، مهندسی مواد، دانشگاه صنعتی بابل، بابل، ایران

۲- دانشیار، گروه مهندسی مواد، دانشگاه صنعتی بابل، بابل، ایران

۳- دانشیار، گروه مهندسی مواد، دانشگاه صنعتی بابل، بابل، ایران

*m.rajabi@nit.ac.ir

(تاریخ دریافت: ۱۳۹۳/۰۷/۱۲، تاریخ پذیرش: ۱۳۹۳/۱۱/۱۵)

چکیده

منیزیم هیدرید (MgH₂) به دلیل ظرفیت نگهداری هیدروژن (۶/۷ درصد وزنی)، هزینه پایین و وزن سبک به عنوان یک ماده جذب در ذخیره سازی هیدروژن شناخته می شود. با این وجود، دمای واجدب بالا و واکنش پذیری بالای آن با اکسیژن کاربرد آن را با محدودیت هایی موافق می سازد. در سال های اخیر، تلاش های بسیاری برای کاهش دمای واجدب هیدریدهای پایه منیزیم صورت گرفته است. این تلاش ها شامل تغییر ریزساختار هیدرید به وسیله آلیاژسازی مکانیکی و استفاده از کاتالیست مناسب است. در این تحقیق، عناصر V, Ti, Mn, Fe به دو صورت مخلوط پودری و پودر پیش آلیاژ به منیزیم هیدرید افزوده شدند و پس از ۳۰ ساعت آلیاژسازی مکانیکی، خواص نانو کامپوزیت های حاصل توسط تفرقه اشعه ایکس، میکروسکوپ الکترونی روبشی و آنالیز حرارتی بررسی گردید. نتایج نشان داد که افزودن پیش آلیاژ به هیدرید منیزیم و ۳۰ ساعت آلیاژسازی مکانیکی مخلوط حاصل در بهبود خواص دفع هیدروژن موثرتر است.

واژگان کلیدی:

هیدرید منیزیم، آلیاژسازی مکانیکی، دمای واجدب هیدروژن، افزودنی پایه تیتانیم.

۱- مقدمه

آنها واکنش شیمیایی داده و تشکیل هیدرید می دهد. بر حسب دما و فشار، هیدرید فلزی و یا فلز پایدار بوده و عملیات جذب و واجدب صورت می گیرد. منیزیم به دلیل وزن سبک، فراوانی، چگالی کم و قیمت مناسب به عنوان یک گزینه‌ی جدی در ذخیره سازی هیدروژن در حالت جامد مطرح است. هیدرید منیزیم (MgH₂) در حدود ۷ درصد وزنی هیدروژن در خود ذخیره می کند و قابلیت آزاد سازی ۹ MJ/kg ارثی را دارد که بسیار قابل توجه است [۲]. با این وجود، مقدار زیاد آنتالپی

با افزایش آنودگی محیط زیست و پدیده‌ی گرم شدن زمین ناشی از تولید روز افرون گازهای گلخانه‌ای، نیاز به جایگزینی سوخت‌های فسیلی روز به روز جدی‌تر می شود. برای عمومیت و مصرف صنعتی از یک سوخت، عواملی چون فراوانی، ذخیره‌ی آسان، بهره‌وری اقتصادی و عوامل بیولوژیکی اهمیت دارد [۱]. هیدروژن به عنوان یک سوخت پاک با راندمان انرژی بالا نسبت به سوخت‌های فسیلی در چند دهه‌ی اخیر مطرح شده است. هیدروژن در دمای بالا با بسیاری از فلزات واسطه و آلیاژهای

کرنش شبکه و اندازه ذرات در حین آسیاکاری بر خواص واجذب هیدروژن بررسی شد.

۲- مواد و روش انجام پژوهش

مشخصات مواد اولیه مورد استفاده در این پژوهش، در جدول(۱) نشان داده شده است.

جدول(۱): مشخصات مواد اولیه مصرفی

شرکت تولیدی	اندازه ذرات	خلوص	ماده
مرک	۵۱ میکرومتر	۹۹٪	MgH ₂
سیگما	۴۵ میکرومتر	۹۹/۵٪	Ti
سیگما	کمتر از یک میکرومتر	۹۹٪	Mn
ریدیل	۴۰ میکرومتر	۹۹٪	V
مرک	۱۰۵ میکرومتر	۹۹٪	Fe

جهت آسیاکاری مکانیکی، از دستگاه آسیاب گلوله‌ای سیاره‌ای انرژی بالا مدل Retsch PM100، Germany استفاده شد. بر اساس ترکیبات بین فلزی استفاده شده در ذخیره سازی هیدروژن، ترکیب مولی AB₂ انتخاب گردید و بر این اساس درصد وزنی عناصر تیتانیم، منگنز، وانادیم و آهن مطابق جدول(۲) انتخاب شدند.

جدول(۲): نسبت وزنی آلیاژ پایه تیتانیم

Ti	Mn	V	Fe	عنصر
۳۰/۴۹٪	۴۹/۰۲	۱۵/۳۶٪	۵/۱۲٪	نسبت وزنی

تشکیل فاز هیدریدی (75 kJ/mol) و نیز تمایل شدید منیزیم به اکسیداسیون سطحی و ضریب نفوذ کم هیدروژن در فاز هیدریدی کاربرد آن را محدود می کند و این موانع ترمودینامیکی و سیستیکی، دمای واجذب هیدروژن را تا بیش از ۴۲۰ درجه سانتیگراد افزایش می دهد[۲]. یکی از روش های متداول در فرآوری هیدریدهای نانوساختار و بهبود سیستیک جذب و دفع هیدروژن، آسیاکاری مکانیکی است. آسیاکاری مکانیکی یکی از روش های فرآوری پودری است که امکان تولید مواد همگن از مخلوط پودرهای اولیه را فراهم می کند [۴-۳]. فلزات واسطه کاتالیزگرهای خوبی در جذب شیمیایی مولکولهای هیدروژن به شمار می روند. این فلزات هیدروژن مولکولی را جذب و پس از تجزیه به داخل شبکه منیزیم انتقال می دهند. در حقیقت با اضافه نمودن کاتالیزگر، انرژی فعالسازی برای واکنش جذب هیدروژن کاهش می یابد و فصل مشترک کاتالیزگر و فلز به عنوان یک محل مناسب برای جوانهزنی و رشد فاز هیدریدی عمل می کند[۵]. گاسان و همکارانش [۶] اثر زمان آسیاب بر دمای واجذب هیدرید منیزیم را بررسی کردند. نتایج آنها نشان داد که پس از آسیاکاری به مدت ۲ ساعت، اندازه ذرات به کوچکترین میزان خود می رسد که در این حالت سطح ویژه بیشترین مقدار است. آنها همچنین گزارش دادند که در زمان های طولانی آسیاکاری اندازه ذرات افزایش می یابد که نتیجه‌ی آن افزایش دمای واجذب است. لیانگ و همکارانش [۷] با افزودن ۵ درصد وزنی از عناصر نیکل، تیتانیم، منگنز، وانادیم و آهن به صورت جداگانه به هیدرید منیزیم نشان دادند که کامپوزیت‌های حاوی تیتانیم و وانادیم بهترین خواص سیستیکی را در محدوده ۳۱۱ - ۲۳۵ درجه سانتیگراد نشان می دهند. نتایج آنها همچنین همچنین نشان داد که با کاهش دما، وانادیم خواص بهتری نسبت به تیتانیم دارد. هدف از انجام پژوهش حاضر، بررسی اثر افزودن همزمان عناصر تیتانیم، منگنز، وانادیم و آهن بر دمای واجذب منیزیم هیدرید در حین آسیای مکانیکی است. برای این منظور، اثر پارامترهای مختلف از جمله اندازه دانه،

تغییرات فازی در حین آسیاکاری به وسیله‌ی دستگاه پرتو ایکس (XRD Philips pw 3710) و با استفاده از طول موج (cu-ka) ($1/54.056 \text{ \AA}^0$) مورد بررسی قرار گرفت. اندازه دانه‌های هیدرید منیزیم بتا در ترکیب شیمیایی‌های مختلف با توجه به پهن شدنگی پیک‌های XRD و با استفاده از روش ویلیامسون‌هال تعیین شد. تغییرات مورفوЛОژی ذرات نانو کامپوزیت‌های حاصل در حین آسیاکاری توسط میکروسکوپ الکترونی مورد بررسی قرار گرفت. خواص واجدب هیدروژن به وسیله‌ی آنالیز حرارتی DSC تحت اتمسفر گاز نیتروژن خالص و در محدوده دمایی $600-100^\circ\text{C}$ درجه سانتیگراد و با سرعت گرمایش ۵ درجه سانتیگراد بر دقيقه انجام شد.

ابتدا مخلوط پودری حاوی تیتانیم، منگنز، وانادیم و آهن به مدت 30°C ساعت آسیاب شد. در ادامه، 10°C درصد وزنی مخلوط پودری آسیاب شده به پودر منیزیم هیدرید افزوده شد و مجدداً به مدت 30°C ساعت آلیاژسازی مکانیکی انجام گرفت. جهت مقایسه، پودر منیزیم هیدرید همراه با 10°C درصد وزنی عناصر تیتانیم، منگنز، وانادیم و آهن (مطابق ترکیب جدول(۲)) نیز به مدت 30°C ساعت آلیاژسازی گردید. جهت سهولت، ترکیبات مختلف پودری، مطابق جدول(۳) کدگذاری شدند. در کلیه مراحل آسیاکاری نسبت گلوله به پودر $20:1$ و سرعت چرخش آسیاب 400 rpm در نظر گرفته شد. برای جلوگیری از اکسیداسیون در حین آسیاکاری مکانیکی، تمام مراحل توزین و نمونه‌برداری در محفظه کنترل شده انجام گردید.

جدول(۳): کد گذاری ترکیبات پودری مختلف

مشخصات نمونه	ترکیب	نام اختصاری
عناصر معین شده با ترکیب شیمیایی مطابق جدول(۲) تحت زمان 30°C ساعت آسیاب شدن	Ti, Mn, V and Fe	MA ₁
منیزیم هیدرید به همراه 10% وزنی از عناصر معین شده و مطابق جدول(۲) به مدت 30°C ساعت آسیاب شد	$MgH_2 - 10\text{wt\%}$ (Ti, Mn, V and Fe)	MA ₂
منیزیم هیدرید به همراه 10% وزنی آلیاژ ₁ به مدت 30°C ساعت آسیاب شد	$MgH_2 - 10\text{wt\%}$ (Ti, Mn, V and Fe)	MA ₃

۲- هیچ فازی بین عناصر تیتانیم، منگنز، وانادیم و آهن تشکیل نشده است.

۳- 30°C ساعت آلیاژسازی برای تولید آلیاژی با ساختار BCC متشكل از عناصر V, Ti, Mn و Fe زیاد است که منجر می‌شود صفحات (۲۰۰) و (۲۱۱) دیگر پراش ندهند.

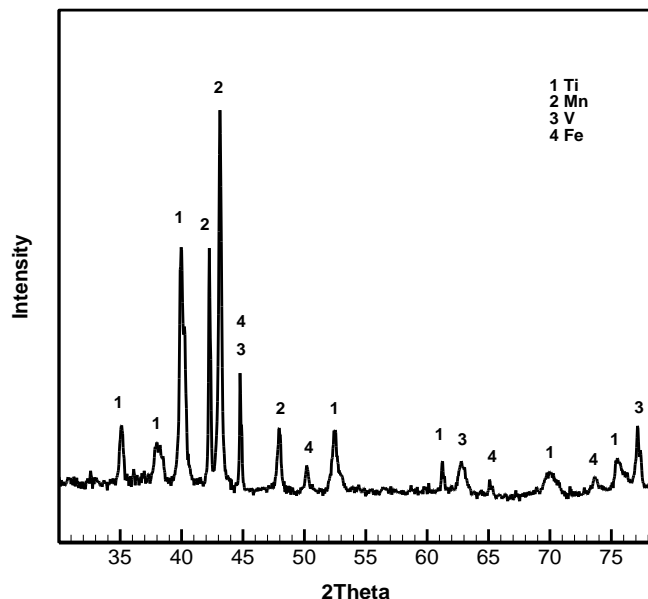
۴- پهن شدن پیک صفحه‌ی (۱۱۰) نشان می‌دهد که آلیاژ از حالت بلوری خارج شده و به آمورف نزدیک شده است.

۳- نتایج و بحث

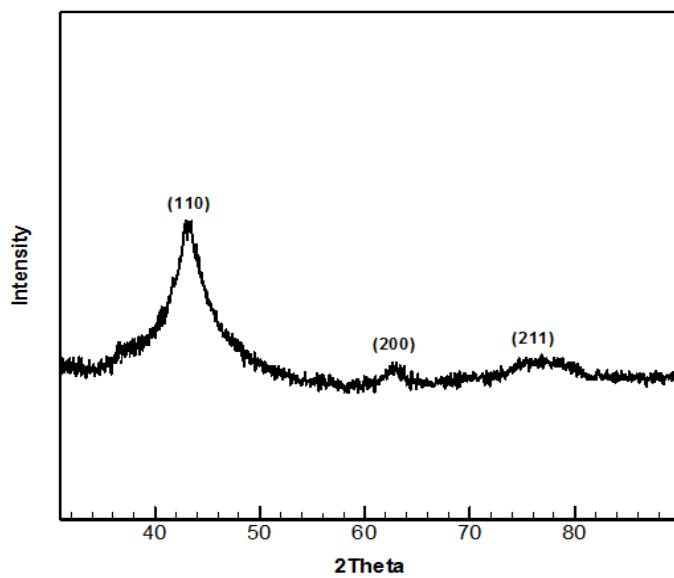
۳-۱-۲- افزودنی پایه Ti-Mn

۳-۱-۱-۳- تغییرات فازی در افزودنی پایه Ti-Mn الگوی آنالیز تفرق اشعه ایکس عناصر تیتانیم، منگنز، وانادیم و آهن، همچنین پیش آلیاژ₁ در شکل‌های (۱) و (۲) نشان داده شده است. بر اساس نتایج تفرق اشعه ایکس پیش آلیاژ نتایج ذیل به دست می‌آید:

۱- پیش آلیاژ تولید شده آلیاژی با ساختار BCC است.



شکل(۱): الگوی آنالیز تفرق پرتوایکس عناصر تیتانیم، منگنز، وانادیم و آهن

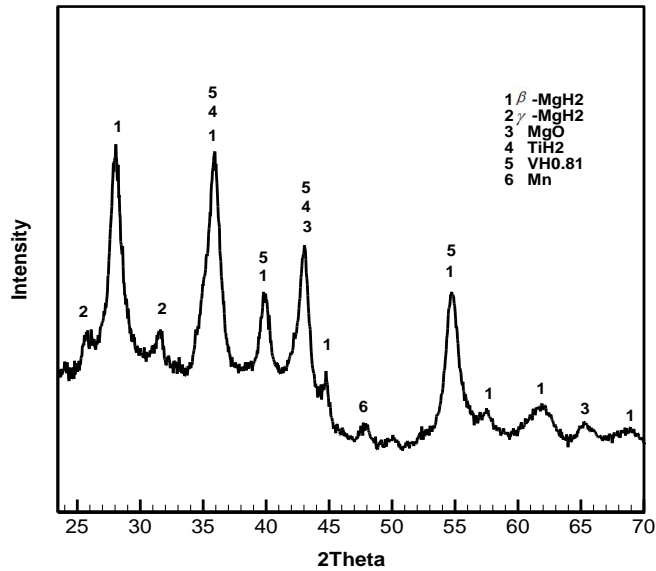
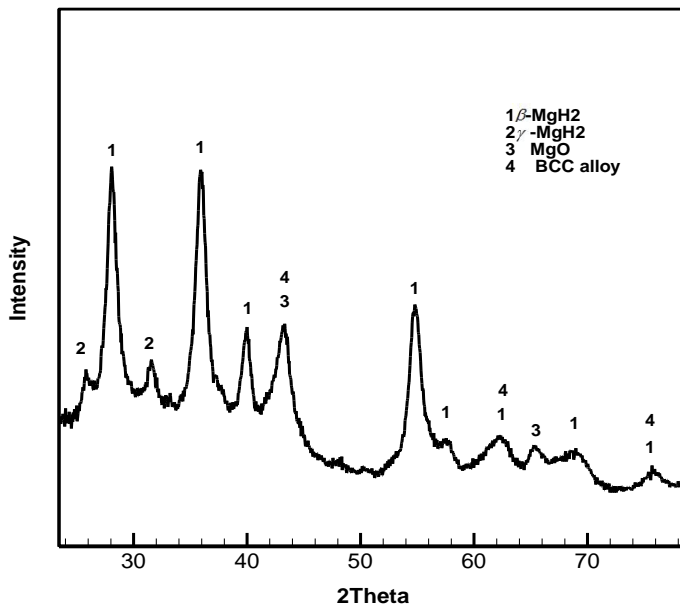


شکل(۲): الگوی آنالیز تفرق پرتوایکس پیش آلیاز MA_1

الگوی آنالیز تفرق پرتوایکس مربوط به نمونه‌های MA_2 و MA_3 در شکل‌های (۳) و (۴) نمایش داده شده است. از نظر تغییرات فازی در نمونه MA_2 (MgH_2) به همراه عناصر V , Mn و Ti به مدت ۳۰ ساعت آسیاب شده است).

۲-۳- نانوکامپوزیت $\text{MgH}_2 - (\text{Ti}, \text{Mn}, \text{V} \text{ and } \text{Fe})$
۱۰wt%

۱-۲-۳- تغییرات فازی و تعیین اندازه‌ی دافع

شکل (۳): الگوی آنالیز تفرق پرتو ایکس کامپوزیت MA_2 شکل (۴): الگوی آنالیز پرتو ایکس کامپوزیت MA_3

گزارش شده است. بنابراین تشکیل این فاز به کاهش دمای واجدب کمک خواهد کرد. تشکیل فاز $VH_{0.81}$ نیز در این آلیاژ مشاهده می شود، هنگامی که فصل مشترک $VH_{0.81}/MgH_2$ در حین آسیابکاری عنصر وانادیم با هیدرید منیزیم شکل می گیرد،

فاز تیتانیم هیدرید در حین آلیاژسازی ایجاد شده است. این ادعا با گزارش سیم چی و همکارانش [۸] مطابقت دارد. آنتالپی پیوند تیتانیم هیدرید در حدود ۶۷ کیلوژول بر مول است در حالیکه آنتالپی پیوند منیزیم هیدرید در حدود ۷۵ کیلو ژول بر مول

یابد. هانا و همکارانش [۶] گزارش کردند که با ۳ ساعت آسیاب کاری، میزان اندازه دانه منیزیم هیدرید از 50 nm به 7 nm کاهش می‌یابد. این اختلاف در اندازه کریستالی به دلیل متفاوت بودن تجهیزات آزمایشگاهی است [۶]. این نتایج نشان می‌دهد که زمان لازم برای رسیدن به ریزترین اندازه کریستالی به شرایط آسیاب وابسته است. هرچند کاهش اندازه دانه با کوتاه کردن آسیاب وابسته است. مسیر خروج هیدرولیز می‌تواند بر پیک و دمای واجذب تأثیرگذار باشد، اما به عنوان عامل اصلی کنترل کننده در بهبود خواص هیدرولیزی هیدریدها شناخته نمی‌شود [۶ و ۱۲].

۳-۲-۳- کرنش شبکه در $\beta\text{-MgH}_2$

میزان کرنش نیز به عنوان عامل تأثیرگذار بر روی خواص هیدرولیزی در حین فرآیند آسیابکاری مطرح می‌شود و با افزایش مقدار کرنش، مقدار دمای واجذب کاهش می‌یابد [۱۳ - ۱۴]. بر طبق پژوهش‌های ژانگ و همکارانش [۱۵] کرنش‌هایی در حدود ۱ درصد بر خواص هیدرولیزی اثر داشته و در مقادیر کمتر از آن اثر قابل توجهی ندارند. با توجه به مقادیر کرنش به دست آمده برای آلیاژهای MA_2 و MA_3 (هر دو برابر $0/1\text{ می‌باشد}$) و از آنجایی که این مقادیر خیلی کمتر از ۱ درصد است، بنظر می‌رسد که عوامل تأثیرگذار دیگری را نیز باید در کاهش دمای واجذب در نظر گرفت.

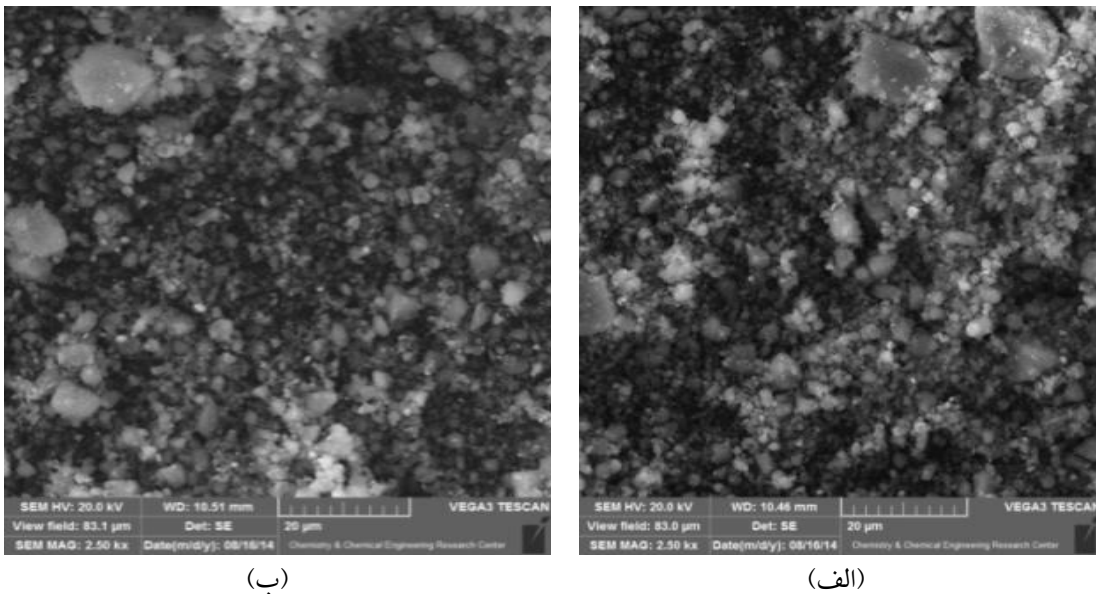
۳- برسی مورفولوژی ذرات توسط میکروسکوپ الکترونی رویشی

منیزیم هیدرید ماده‌ای ترد و شکننده است و در فرآیند آسیابکاری می‌تواند بشکند و جوش‌های میکرو ایجاد کند تا به مرحله پایدار^۱ برسد (در این مرحله میزان سرعت ذرات شکسته شده و جوش خورده برابر است). از مطالعه‌ی مورفولوژی می‌توان متوجه شد که در طول فرآیند آسیابکاری ذرات علاقه دارند به یکدیگر بچسبند و خوش^۲ تشکیل دهند که نتیجه این اتفاق، بزرگ شدن ذرات است. شکل(۵) مورفولوژی پودر نانو کامپوزیت‌های MA_2 و MA_3 را نشان می‌دهد.

جای خالی هیدرولیز که در نزدیک فاز وانادیم هیدرید شکل گرفته است، در مقایسه با هیدرید منیزیم بدون آسیاب، از پایداری کمتری برخوردار بوده و بدین ترتیب به کاهش دمای واجذب کمک می‌کند [۹]. بقیه‌ی فازهایی که در Al_2O_3 تشکیل شده است شباهت زیادی با فازهای تشکیل شده در آلیاژ MA_3 دارد. با توجه به الگوی پرتو ایکس می‌توان مشاهده کرد که فازهای O و MgH_2 در حین آسیابکاری بوجود آمده اند. مقدار کم فاز MgO در همه‌ی آلیاژها دیده می‌شود. علت تشکیل MgO را می‌توان به واکنش پذیری بالای Mg نسبت داد. فاز MgO به عنوان مانعی بین فاز گازی و فاز جامد عمل می‌کند و سرعت نفوذ را در دو فاز ذکر شده کاهش می‌دهد [۷]. در طی فرآیند آسیابکاری $\beta\text{-MgH}_2$ به $\gamma\text{-MgH}_2$ تبدیل می‌شود. تشکیل $\gamma\text{-MgH}_2$ از $\beta\text{-MgH}_2$ یک استحاله‌ی پلی-مورفیسم است که در فشارهای بالا بوسیله‌ی گلوله‌های فولاد زنگنزن از فاز $\beta\text{-MgH}_2$ بدست می‌آید. فاز نیمه پایدار $\gamma\text{-MgH}_2$ دارای آنتالپی واجذب XRD کم و دمای واجذب پایین است [۱۰]. با توجه به الگوی MgO توان مشاهده کرد که هیچ ترکیب چندگانه‌ای بین عناصر V ، Mn و Ti تشکیل نمی‌شود و افزودنی پایه BCC پایدار است. بر طبق منابع مطالعاتی، اندازه دانه کرنش شبکه و اندازه ی ذره بر روند تغییرات دمای واجذب در طی فرآیند آسیابکاری موثر بوده و بر طبق نتایج حاصله در این پژوهش در ادامه به تأثیر عوامل فوق پرداخته خواهد شد.

۳-۲-۲-۳- اندازه دانه $\beta\text{-MgH}_2$

یکی از عوامل مؤثر بر خواص واجذب هیدرید منیزیم اندازه دانه است. اندازه کریستالی ذرات با توجه به عرضشدن پهنای پیک‌ها و استفاده از رابطه‌ی لیامسون‌هال و نرم‌افزار SigmaPlot محاسبه شد. میزان اندازه دانه در $\text{MA}_2\text{-}\beta\text{-MgH}_2$ در نمونه‌های MA_3 و MA_2 از 50 نانومتر به ترتیب به 20 و 17 نانومتر کاهش یافت. نتایج مشابهی توسط وارین و همکارانش [۱۰] گزارش شده است. آنها نشان دادند با 10 ساعت آسیاب کاری منیزیم هیدرید توسط آسیاب Spex، میزان اندازه دانه از 67 nm به 14 nm کاهش می-



شکل(۵): تصویر میکروسکپ الکترونی روبشی از ترکیبات پودری پس از آلیاژسازی مکانیکی: (الف): نمونه MA₂ و (ب): نمونه MA₃

(Ti, Mn, V and Fe) ۴-۳-آلیاژ حرارتی نانوکامپوزیت

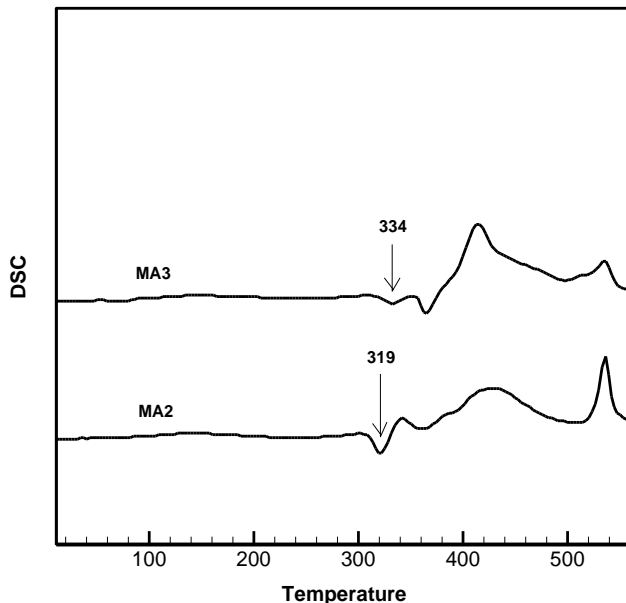
MgH₂ – 10wt%

به وسیله آنالیز حرارتی DSC تأثیر زمان آسیاب و اثر کاتالیست بر دمای واجدب منیزیم هیدرید و نانوکامپوزیت MgH₂ – 10wt% (Ti, Mn, V and Fe) هیدرید خالص و آسیاب نشده در ۴۲۱ درجه سانتیگراد هیدروژن خود را آزاد می‌کند [۱۱۰]. با توجه به شکل(۶) با انجام آسیاکاری مکانیکی و افزودن کاتالیست به منیزیم هیدرید دمای واجدب منیزیم هیدرید در نانوکامپوزیت‌های MA₂ و MA₃ به ترتیب به ۳۱۹ و ۳۳۴ درجه کاهش یافت. وجود دو پیک در منحنی نمونه‌های MA₂ و MA₃ توسط وارین و همکارانش [۱۰] بدین صورت توجیه شده است که پیک دما پایین مربوط به اندازه دانه کوچکتر و پیک دما بالا مربوط به اندازه دانه بزرگتر است. از طرف دیگر بر اساس نظریه‌ی ژتری و همکارانش [۱۷-۱۸] پیک دما پایین مربوط به γ -MgH₂ و پیک دما بالا مربوط به β -MgH₂ می‌باشد. بر اساس گزارش برخی محققین وجود چندین پیک در نمودار واجدب آلیاژهای MA₂ و MA₃ نشان‌دهنده‌ی وجود چندین مکان برای هیدروژن در

می‌توان حدس زد که آلیاژ پایه Ti-Mn به عنوان ماده‌ای نرم در جن فرآیند آسیاب عمل کرده و مانع از جوش میکرو در منیزیم هیدرید شده است. این ادعا با گزارش زنسیو و همکارانش [۱۶] مطابقت دارد. آنها گزارش کردند پس از ۲۰۰ ساعت آسیاب، اندازه ذرات منیزیم هیدرید به ۹۰۰ نانومتر می‌رسد. در پژوهش حاضر، در زمان بسیار کمتری اندازه ذرات به ۹۰۰ نانومتر رسیده است. تاکنون پژوهش‌های گسترده‌ای در جهت بررسی اثر پارامترهای آسیاکاری مکانیکی بر دمای واجدب هیدروژن صورت گرفته است. نتایج این پژوهشها نشان می‌دهد که متوسط اندازه‌ی ذرات مهم‌ترین عامل در کاهش دمای واجدب هیدروژن است. البته اگر قرار باشد اندازه‌ی ذره به عنوان مهم ترین عامل معرفی شود یک مقدار حداقل برای متوسط اندازه‌ی ذرات معرفی کرده‌اند. بر اساس گزارش وارین و همکارانش [۱۰] این اندازه برابر $2 \mu\text{m}$ در نظر گرفته شده است. با توجه به شکل(۵) مشاهده می‌شود که اندازه‌ی ذرات در حد بحرانی و حتی کوچک‌تر از این مقدار می‌باشد بنابراین اندازه‌ی ذرات می‌تواند به عنوان عامل اصلی در کاهش دمای واجدب در این پژوهش معرفی گردد.

متفاوتی احتیاج دارد که این میزان افزایش دما به وسیلهٔ حرارت تأمین می‌شود. کاملاً واضح است هیدروژنی که پیوند ضعیف تری دارد گرمای کمتری برای آزادسازی اش نیاز دارد.

نانوکامپوزیت می‌باشد که هر مکان پتانسیل خود را دارد. این نظریه مورد موافقت منابع [۸، ۱۷] می‌باشد. میزان انرژی پیوند هیدروژن به وسیلهٔ پیوندی که با اتم مقابلهٔ در زمینه Mg دارد معلوم می‌شود و برای اینکه هیدروژن از مکانش کنده شود دمای



شکل (۶): دمای واجدب نانوکامپوزیت های MA_3 و MA_2

۳- فازهای هیدرید تیتانیم و هیدرید وانادیم باعث کاهش اندازهٔ ذرات منزیم هیدرید می‌شوند که این اتفاق باعث کاهش دمای واجدب می‌شود.

۴- اگر عناصر V، Mn، Ti و Fe به صورت عنصری به منزیم هیدرید اضافه شوند، فازهای تیتانیم هیدرید و وانادیم هیدرید تشکیل می‌شود این در حالی است که اگر این عناصر پیش آلیاژ شوند و به هیدرید منزیم افزوده شوند هیچ هیدریدی به جز منزیم هیدرید در نانوکامپوزیت وجود نخواهد داشت.

۵- منابع

- [1] S. Ullmann, “Encyclopedia of Industrial Chemistry”, Sixth Edition, WILEY-VCH, 2002.
- [2] D. A. J. Rand & R. M. Dell, “Hydrogen Energy”, Challenges and Prospects, 2007.

با توجه به آنالیز حرارتی کاملاً مشهود است که کمترین میزان دمای واجدب مرتبط به نمونه MA_2 برابر ۳۱۹ درجه سانتیگراد می‌باشد. از آنالیز تصاویر میکروسکپ الکترونی (شکل (۵)) کاملاً مشهود است که این نمونه در مقایسه با نمونه‌ی دیگر دارای اندازهٔ ذره کمتری می‌باشد. بنابراین دلیل اصلی کاهش دمای واجدب مرتبط به اندازهٔ ذره است.

۶- نتیجه گیری

۱- دمای واجدب منزیم هیدرید با استفاده از آسیاکاری و کاتالیست پایه Ti-Mn به طور تقریبی ۱۰۰ درجه سانتیگراد کاهش پیدا کرد.

۲- با توجه از نتایج مشخص شد اگر عناصر V، Mn، Ti و Fe به صورت عنصری به منزیم هیدرید اضافه شوند دمای واجدب منزیم هیدرید بیشتر تحت تاثیر قرار می‌گیرد.

- controlled mechanical milling”, Nanotechnology, Vol. 17, pp. 3856–65, 2006.
- [11] B. Bogdanovic, et al, “Thermodynamic investigation of the magnesium–hydrogen system”, Journal of Alloys and Compounds, Vol. 282, pp. 84–92, 1999.
- [12] H. Simchi, A. Kafrou & A. Simchi, “Synergetic effect of Ni and Nb_2O_5 on dehydrogenation properties of nanostructured MgH_2 synthesized by high-energy mechanical alloying”, International Journal of Hydrogen Energy, Vol. 34, pp. 7724–7730, 2009.
- [13] A. L. Zaluska & J. O. Strom-Olsen, “Nanocrystalline magnesium for hydrogen storage”, Journal of Alloys and Compounds, Vol. 288, pp. 217–225, 1999.
- [14] H. Simchi, A. Kafrou & A. Simchi, “Metal hydrides show potential under stress”, Metal Powder Report, Vol. 64, pp. 24–26, 2009.
- [15] J. Zhang, Y. C. Zhou, Z. S. Ma, L. Q. Sun & P. Peng, “Strain effect on structural and dehydrogenation properties of MgH_2 hydride from first principles calculations”, Int. J. hydrogen energy, Vol. 38, pp. 3661, 2013.
- [16] K. F. Aguey-Zinsou, J. R. Ares Fernandez, T. Klassen & R. Bormann, “Effect of Nb_2O_5 on MgH_2 properties during mechanical milling”, Int J Hydrogen Energy, Vol. 32, pp. 2400–7, 2007.
- [17] O. G. Ershova, et al, “Influence of Ti, Mn, Fe, and Ni addition upon thermal stability and decomposition temperature of the MgH_2 phase of alloys synthesized by reactive mechanical alloying”, Journal of Alloys and Compounds, Vol. 464, pp. 212–218, 2008.
- [18] G. Barkhordarian, T. Klassen & R. Bormann, “Catalytic mechanism of transition-metal compounds on Mg hydrogen sorption reaction”, Journal of Physical Chemistry, Vol. 110B, pp. 11020–11024, 2006.
- [۳] م. ا. شافعی، س. ج. حسینی پور و م. رجبی، ”اثر افزودن زیرکونیم بر ریزساختار و سختی آلیاژ $Al-6Zn-2.5Mg-1.5Cu$ تولیدی به روش آلیاژسازی مکانیکی”， فرایندهای نوین در مهندسی مواد، شماره ۴، سال ۹، صفحه ۲، زمستان، ۱۳۹۴.
- [۴] د. داوودی، ا. ح. امامی و ع. سعیدی، ”تولید و بررسی خواص مکانیکی پودر نانو کامپوزیت آلمینیوم ۷۰۱۴ / آلمینیا به روش آلیاژسازی مکانیکی”， فرایندهای نوین در مهندسی مواد، شماره ۴، سال ۹، صفحه ۲، زمستان، ۱۳۹۴.
- [5] W. Klose & V. Stuke, “Investigation of the thermodynamic equilibrium in the hydrogen-magnesium-magnesium hydride system”, International Journal of Hydrogen Energy, Vol. 20, pp. 309–316, 1999.
- [6] H. Gasan, N. Aydinbeyli, O. N. Celik & Y. M. Yaman, “The dependence of the hydrogen desorption temperature of MgH_2 on its structural and morphological characteristics”, Journal of Alloys and Compounds, Vol. 487, pp. 724–729, 2009.
- [7] G. Liang, “Catalytic effect of transition metals on hydrogen sorption in nanocrystalline ball milled MgH_2-Tm ($Tm=Ti, V, Mn, Fe$ and Ni) systems”, Journal of Alloys and Compounds, Vol. 292, pp. 247–252, 1999.
- [8] N. Mahmoudi, A. Kafrou & A. Simchi, “Hydrogen desorption properties of $MgH_2-TiCr_{1.2}Fe_{0.6}$ nanocomposite prepared by high-energy mechanical alloying”, Journal of Power Sources, Vol. 196, pp. 4604–4608, 2011.
- [9] D. W. Zhou, J. Zhang, P. Peng & J. S Liu, “Alloying effects on the energy and electronic structures of vanadium hydrides”, Mater. Sci. Poland, Vol. 25, Pp. 947, 2007.
- [10] R. A. Varin, T. Czujko & Z. Wronski, “Particle size, grain size and MgH_2 effects on the desorption properties of nanocrystalline commercial magnesium hydride (MgH_2) processed by

۶- پی نوشت

- [1] steady-state
[2] cluster